

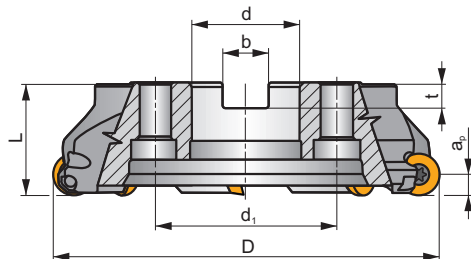
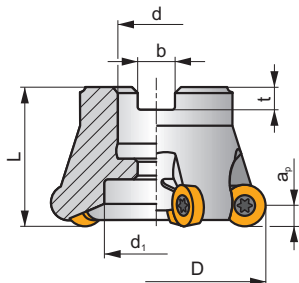
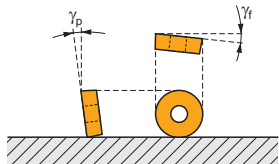
**SRC20**

**P M K N S H**

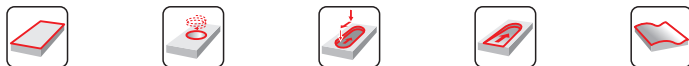
**S**



$a_{pmax}$  10,0 mm



$h_m$  0,11 - 0,32



ISO	D	L	d	d <sub>1</sub>	b	t	$\gamma_f^\circ$	$\gamma_p^\circ$					kg			
<b>80A04R-SMORC20-C</b>	80	50	27	28	12,4	7	-2,7	-7	4	-	8500	✓	0,96	GI281	CO040	-
<b>100A05R-SMORC20-C</b>	100	50	32	45	14,4	8	-1,7	-7	5	-	7600	✓	1,26	GI281	CO041	AC002
<b>125A06R-SMORC20-C</b>	125	63	40	36	16,4	9	-1	-7	6	-	6500	✓	2,96	GI281	CO042	-
<b>160C07R-SMORC20-C</b>	160	63	40	66,7	16,4	9	-0,9	-7	7	-	5400	✓	5,44	GI281	CO046	-



GI281



RCMT 2006MO..

CO040	US 66015-T25P	7,5	M 6	15	SDR T25P-T	HS 1230C	-	-	-
CO041	US 66015-T25P	7,5	M 6	15	SDR T25P-T	-	-	-	-
CO042	US 66015-T25P	7,5	M 6	15	SDR T25P-T	HSD 2040	-	-	-
CO046	US 66015-T25P	7,5	M 6	15	SDR T25P-T	HS 1240C	CAC 160C	HSD 0825C	HXK 5



AC002



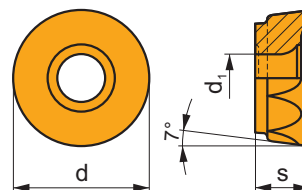
KS 1635



K.FMH32

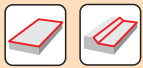
# RCMT 20

	d	d <sub>1</sub>	s
2006	20,000	6,50	6,35



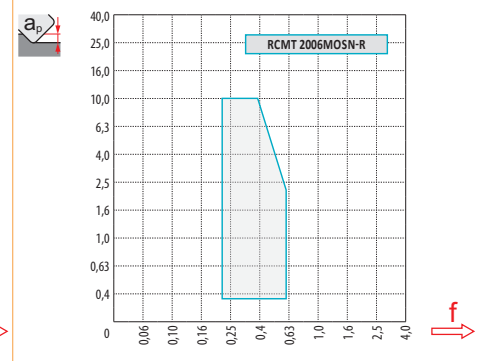
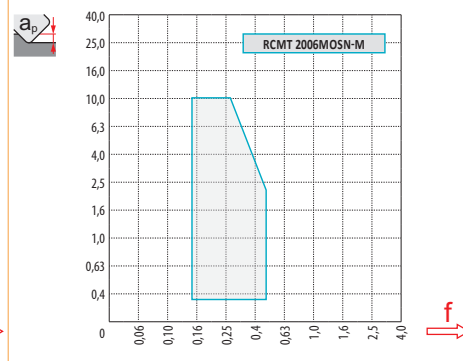
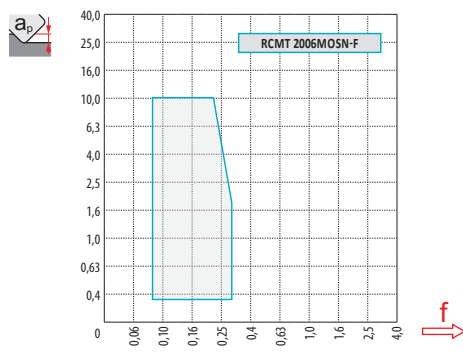
i	ISO	Material	Material Groups						C	L	r <sub>c</sub>	f <sub>min</sub>	f <sub>max</sub>	a <sub>p min</sub>	a <sub>p max</sub>
			P	M	K	N	S	H							
  	RCMT 2006MOSN-F	M8330	■	▣	□	□	□	□	✘	-	-	0,08	0,30	0,3	10,0
   	RCMT 2006MOSN-M	M9315	■	▣	■	□	□	□	☉	---	-	0,15	0,38	0,3	10,0
	M9325	■	▣	■	▣	□	□	□	✘	---	-	0,15	0,38	0,3	10,0
	M9340	▣	■	□	▣	□	□	□	✘	---	-	0,15	0,38	0,3	10,0
	M6330	▣	■	□	□	■	□	□	✘	-	-	0,15	0,45	0,3	10,0
	M8330	■	▣	■	□	□	□	□	✘	-	-	0,15	0,45	0,3	10,0
	M8345	■	■	□	□	▣	□	□	✘	+/-	-	0,15	0,45	0,3	10,0
   	RCMT 2006MOSN-R	M9325	■	▣	□	□	▣	□	✘	---	-	0,20	0,51	0,3	10,0
	M8330	■	▣	■	□	□	▣	□	✘	-	-	0,20	0,60	0,3	10,0
	M8345	■	▣	□	□	▣	□	□	✘	+/-	-	0,20	0,60	0,3	10,0

ISO	f <sub>min</sub>	f <sub>max</sub>	M9315	M9325	M9340	M8330	M8345	
P	●	0,10	0,50	479	424	380	363	275
	☉	0,10	0,40	435	374	341	325	242
	✘	0,10	0,30	396	330	303	281	215
M	●	0,10	0,50	-	215	226	215	165
	☉	0,10	0,40	-	193	204	193	143
	✘	0,10	0,30	-	165	182	171	127
K	●	0,10	0,50	457	-	-	347	-
	☉	0,10	0,40	413	-	-	308	-
	✘	0,10	0,30	374	-	-	270	-
N	●	0,10	0,50	-	-	-	913	-
	☉	0,10	0,40	-	-	-	814	-
	✘	0,10	0,30	-	-	-	710	-
S	●	0,10	0,45	-	105	110	105	83
	☉	0,10	0,40	-	94	99	94	72
	✘	0,10	0,30	-	83	88	83	61
H	●	0,10	0,35	94	-	-	72	-
	☉	0,10	0,30	83	-	-	61	-
	✘	0,10	0,25	77	-	-	55	-



$\frac{a_p}{D}$	0,05	0,10	0,15	0,20	0,25	0,30	0,40	0,50	0,60	0,70	0,75	0,80	0,90	1,00
	1,48	1,35	1,27	1,22	1,19	1,16	1,11	1,08	1,05	1,03	1,00	1,00	1,00	1,00
	2,87	2,05	1,69	1,48	1,33	1,23	1,09	0,75	0,94	0,90	0,89	0,88	0,88	1,00
	0,64	0,64	0,64	0,64	0,64	0,65	0,65	0,67	0,68	0,71	0,72	0,74	0,79	1,00

	RCMT 20-F	RCMT 20-M	RCMT 20-R
	10,0	10,0	10,0
	-	-	-



$\frac{a_p}{D}$	0,00	0,30	0,50	0,75	1,00	1,25	1,50	2,00	2,50	3,00	4,00	5,00	6,00	7,00	8,00	9,00	10,00
80	60,0	64,9	66,2	67,6	68,7	69,7	70,5	72,0	73,2	74,3	76,0	77,3	78,3	79,1	79,6	79,9	80,0
100	80,0	84,9	86,2	87,6	88,7	89,7	90,5	92,0	93,2	94,3	96,0	97,3	98,3	99,1	99,6	99,9	100,0
	-	0,30	0,50	0,75	1,00	1,25	1,50	2,00	2,50	3,00	4,00	5,00	6,00	7,00	8,00	9,00	10,00
	-	1,23	0,95	0,78	0,68	0,61	0,55	0,48	0,43	0,40	0,35	0,31	0,29	0,27	0,26	0,25	0,24



$\frac{D}{\alpha_{max}}$	$\frac{a_p}{l}$
80	7,0
100	5,0



$\frac{D}{d_{min}}$	$d_{min}$	$d_{max}$	$\frac{S_{max}}{d_{min}}$	$\frac{S_{max}}{d_{max}}$
80	120,0	160,0	10,0	10,0
100	160,0	200,0	10,0	10,0



6,0



$\mu\text{m}$

3      5      10      15      20      30      40      50      60      80      100

80



0,980    1,265    1,789    2,191    2,530    3,098    3,578    4,000    4,382    5,060    5,657

100

1,095    1,414    2,000    2,449    2,828    3,464    4,000    4,472    4,899    5,657    6,325



$\mu\text{m}$

3      5      10      15      20      30      40      50      60      80      100

10,0



0,490    0,632    0,894    1,095    1,265    1,549    1,789    2,000    2,191    2,530    2,828

